### 講義資料

http://conf.msl.titech.ac.jp/Lecture/StatisticsC/index.html

# 統計力学(C)

フロンティア材料研究所 神谷利夫元素戦略研究センター 松石 聡

### 講義予定 火・金 16:15~17:55

第01回 10/1	熱力学の復習	(神谷)
第02回 10/5	気体分子運動論 Maxwell分布	(神谷)
第03回 10/8	Maxwell分布	
	古典統計力学の基礎 I (位相空間)	(神谷)
第04回 10/12	古典統計力学の基礎Ⅱ	
	(微視的状態の数、エルゴード仮説、Boltzmann分布)	(神谷)
第05回 10/15	正準理論、量子統計力学における等確率の原理	(神谷)
第06回 10/19	大正準理論、量子統計力学の基礎	(神谷)
第07回 10/22	量子統計力学の基礎、古典統計力学の応用と問題	(神谷)
第08回 10/26	復習	(神谷)
第09回 11/2	理想Bose気体、固体の比熱(Einstein、Debyeの比熱式)	(松石)
第10回 11/5	光子と熱輻射	(松石)
第11回 11/9	理想Fermi気体、金属中の電子	(松石)
第12回 11/12	半導体中の電子、Fermi準位、ドーピング	(松石)
第13回 11/16	スピン系の磁化率	(松石)
第14回 11/19	復習	

第15回 11/26 試験

### 出題範囲

講義資料ダウンロード: http://conf.msl.titech.ac.jp/StatisticsC.html

- 出題範囲は基本的に教科書の範囲
- 基本的な考え方の理解を重視
- 数式展開を暗記しないといけない問題は出さない。
- ただし、基本的な考え方に必要な数式、たとえばW、Stirlingの式、Boltzmannの原理、統計分布関数の形と使い方、 は出題範囲。
- ・公式を覚えていないとわからない(不定)積分などは試験問題中で与える

### 課題 (10/30)

- 講義時間内 (~17:55) に解き、できたところまでを 18:25までに OCWi より提出せよ。
- 手書きが要求される問題は、写真を撮って提出してもよい。
- 電子ファイルで提出できる場合は、なるべく MS-Word、Excel、PowerPoint、 PDFファイルで提出すること。
- 解答ページには、学籍番号と氏名を書くこと

問題1 デュロンープティの法則など、古典統計力学が適用できないのはどのような場合か。3行程度で説明せよ

問題2 Einstein模型とDebye模型の違いについて説明せよ。また、それぞれの低温、高温極限での比熱のふるまいについて、数式を示せ(導出する必要はない)。

### 課題 2021/10/19

#### 課題:

問題1 Fermi-Dirac分布関数、Bose-Einstein分布関数、Maxwell-Boltzmann分布関数の式を書き、横軸を電子のエネルギー、縦軸を確率とするグラフ(概略図)を手書きで描け。

横軸には化学ポテンシャル  $\mu$  を明示し、分布関数に特徴的な変化、数値を書き込め。

また、μからk<sub>B</sub>Tだけ離れたエネルギーにおける分布関数の値を図中に示せ。

問題2 何か質問を1つ書け。

提出方法: OCW-i

ファイルは、一般的に読める形式であればよい。

(JPEGなどの画像ファイルも可)

提出期限: 10月19日(火) 23:59:59

### 量子力学の基本

- 1. 物理量はすべて「演算子」である(C数も演算子の一種)
- 2. 共役な物理量 $\hat{A}$ ,  $\hat{B}$ は交換関係  $\hat{A}\hat{B} \hat{B}\hat{A} = i\hbar$  を満たす
- 3. 物理量Pが固有値方程式  $\hat{P}|\varphi_P\rangle = P|\varphi_P\rangle (P$ は実数) を満たすとき、 $|\varphi_P\rangle$  を  $\hat{P}$  の固有関数あるいは固有状態、P を固有値と呼ぶ。
  - \* P が実数となるためには、 $\hat{P}$ はエルミート演算子  $\hat{P} = \hat{P}^{t*}$ である必要がある: 「 $\hat{P}$  はオブザーバブル」
- 4.  $\hat{P}$ がオブザーバブルであれば、固有状態で  $\hat{P}$  を測定したときの値 は必ず P になる  $(\langle \varphi_P | \hat{P} | \varphi_P \rangle = P)$ 。
- 5.  $\hat{P}$ がオブザーバブルでない場合、 $\hat{P}$  の測定値は確率でしか得られず、多数の測定をした期待値は  $\langle \varphi_P | \hat{P} | \varphi_P \rangle$ になる。

#### 系の固有状態

1. ハミルトニアン  $\widehat{H}$  が 定常状態のSchrödinger方程式  $\widehat{H}|\Psi\rangle = E|\Psi\rangle$  を満たすとき、 $|\Psi\rangle$  を 系の固有関数あるいは固有状態、E を固有エネルギーと呼ぶ。

### 量子力学の基本

固有値方程式を解いた解(固有状態)は、「良い量子数」に よって指定される

=> 系の状態は「良い量子数」によって指定される

#### 良い量子数の例:

自由並進運動:  $p_x, p_y, p_z (k_x, k_y, k_z)$ 

調和振動子: n

3次元井戸型ポテンシャル:  $n_x$ ,  $n_z$ ,  $n_y$ 

水素原子: n, l, m

スピンを考慮する場合: n, l, m, s

### Schrödinger方程式

ハミルトニアン中の物理変数 (x, pなど) を演算子 (Q数) とみなし、量子力学的交換関係を満たすように置き換える

$$H\Psi(\mathbf{r}_{1},\mathbf{r}_{2},,,) = E\Psi(\mathbf{r}_{1},\mathbf{r}_{2},,,)$$
 Schrödinger方程式  $\left\{-\frac{1}{2}\sum_{l}\nabla_{l}^{2} + V(\mathbf{r}_{1},\mathbf{r}_{2},,,)\right\}\Psi(\mathbf{r}_{1},\mathbf{r}_{2},,,) = E\Psi(\mathbf{r}_{1},\mathbf{r}_{2},,,)$   $H\Psi(\mathbf{r},t) = i\hbar\frac{\partial}{\partial t}\Psi(\mathbf{r},t)$ 

粒子の力学方程式を量子化: 粒子の位置  $r_i$  に関する方程式 Eは H演算子の固有値: 全エネルギー  $\Psi$ :  $|\Psi|^2$  が電子密度分布

### 一電子Schrödinger方程式

#### Schrödinger方程式

波動関数 全エネルギー

$$H\Psi(\mathbf{r}) = E\Psi(\mathbf{r})$$

$$\Psi(\mathbf{r})$$

変数分離 
$$\Psi(\mathbf{r}) = \varphi_1(\mathbf{r}_1)\varphi_2(\mathbf{r}_2)\cdots\varphi_N(\mathbf{r}_N)$$
  $H(\mathbf{r}) = \sum h_i(\mathbf{r}_i)$  制約条件  $\int |\Psi(\mathbf{r})|^2 d\mathbf{r} = 1 \implies$ 未定乗数 ε

#### 一電子Schrödinger方程式: Hartree方程式

$$h_i(\mathbf{r}_i) = -\frac{1}{2}\nabla_i^2 - \sum_m \frac{Z_m}{r_{im}} + \sum_m \int \frac{\varphi_m^*(\mathbf{r}_m)\varphi_m(\mathbf{r}_m)}{r_{im}} d\mathbf{r}_m$$

$$h_i \varphi(\mathbf{r}_i) = \varepsilon \varphi(\mathbf{r}_i)$$

解釈 (注:  $ε_i$ は束縛条件  $\int |\Psi(\mathbf{r})|^2 d\mathbf{r} = 1$ に関する未定乗数)

ε;: 電子のエネルギー準位

♦;: 一電子の波動関数

### 多粒子系の量子力学的取り扱い

#### 量子方程式:

電子: 古典力学のハミルトニアンを量子化 (Schrödinger方程式)

光子 (フォトン): Maxwellの方程式を量子化

格子振動 (フォノン): 波動方程式を量子化

(第一)量子化: 古典論の物理量に量子論の交換関係を適用すること

正確な方法:全粒子に対する量子方程式を解き、 全粒子系の波動関数とエネルギー固有値を扱う

例: 電子の場合

$$H\Psi(\{\mathbf{r}_i\}) = E\Psi(\{\mathbf{r}_i\}) \implies E_i, \Psi_i(\{\mathbf{r}_i\})$$

粒子の配置は解に含まれている。計算量が膨大



一粒子方程式の解 => 粒子ごとの状態(エネルギー準位、波動関数)

$$h_i \varphi(\mathbf{r}_i) = \varepsilon \varphi(\mathbf{r}_i)$$

$$=> \varepsilon_i, \varphi_i(\mathbf{r}_i), \Psi(\{\mathbf{r}_i\}) = \varphi_1(\mathbf{r}_1)\varphi_2(\mathbf{r}_2)\cdots\varphi_N(\mathbf{r}_N)$$

### 多粒子系の量子力学的取り扱い

一粒子方程式の解 => 粒子ごとの状態(エネルギー準位、波動関数)

$$h_i \varphi(\mathbf{r}_i) = \varepsilon \varphi(\mathbf{r}_i) \implies \varepsilon_i, \varphi_i(\mathbf{r}_i), \Psi(\{\mathbf{r}_i\}) = \varphi_1(\mathbf{r}_1) \varphi_2(\mathbf{r}_2) \cdots \varphi_N(\mathbf{r}_N)$$



粒子の配置(どの状態にいくつ粒子を配置するか)を考える必要

- Fermi粒子とBose粒子の違いを考慮
- ・Ψ(r) は電子の入れ替えに対する対称性を満たす必要がある 電子の場合: 1回の電子対の入れ替えに対して反対称

 $\Psi(\{\mathbf{r}_i\}) = \psi_a(\mathbf{r}_1)\psi_b(\mathbf{r}_2) - \psi_a(\mathbf{r}_2)\psi_b(\mathbf{r}_1)$  など フォトン、フォノンの場合: 1回の粒子対の入れ替えに対して対称  $\Psi(\{\mathbf{r}_i\}) = \psi_a(\mathbf{r}_1)\psi_b(\mathbf{r}_2) + \psi_a(\mathbf{r}_2)\psi_b(\mathbf{r}_1)$  など

### 量子統計力学 (基礎) の仮定:

- ・他の電子の配置が一電子準位に影響を与えない :電子相関が弱い
- ・全エネルギーが一電子エネルギーの和で近似できる: 相互作用が弱い

### 統計分布関数:まとめ

$$\frac{n_i}{g_i} = \frac{1}{e^{\beta(e_i - \mu)} \mp 1} \quad (7.27)$$

符号—: Bose-Einstein分布

符号-, μ=0: Plank分布

符号+:Fermi-Dirac分布

 $e^{\beta(e_i-\mu)}\gg 1$ : Maxwell-Boltzmann分布

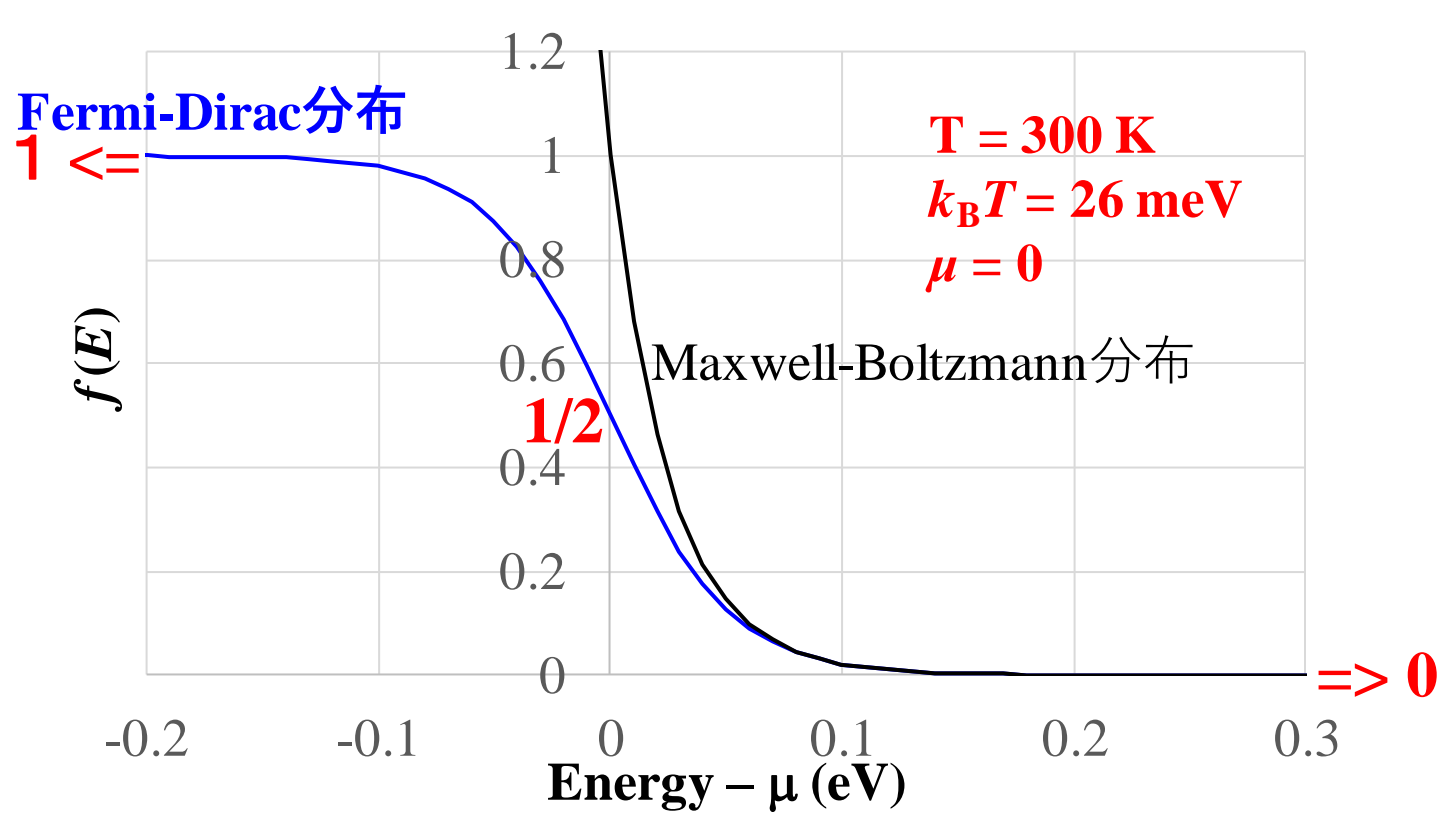
$$\frac{n_i}{g_i} = e^{-\beta(e_i - \mu)}$$

### Fermi-Dirac分布関数

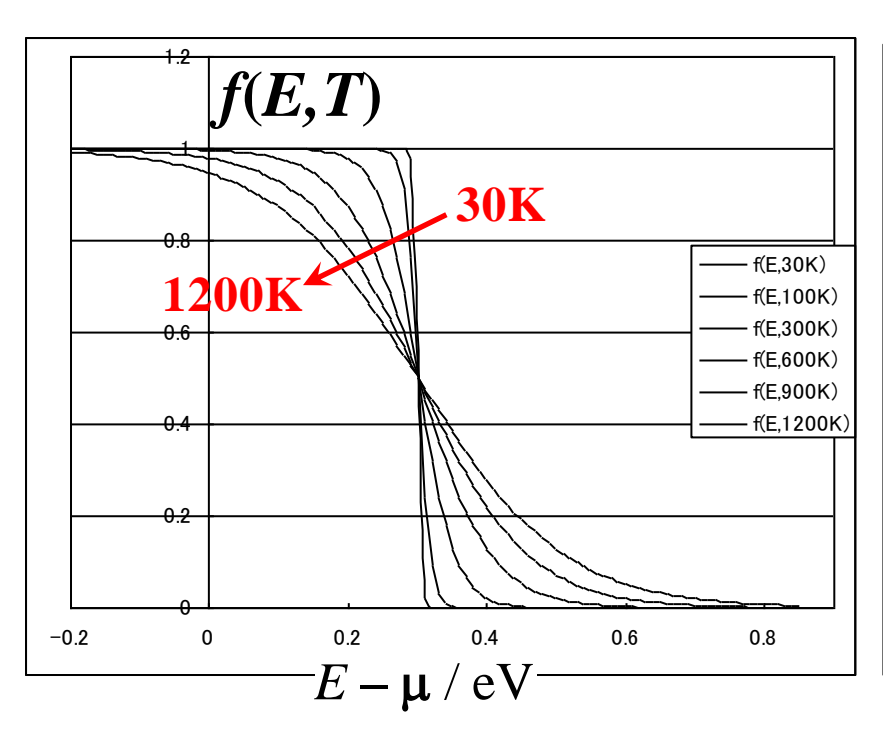
Fermi-Dirac分布: 
$$f(E) = \frac{1}{\exp[(E-\mu)/k_B T]+1}$$

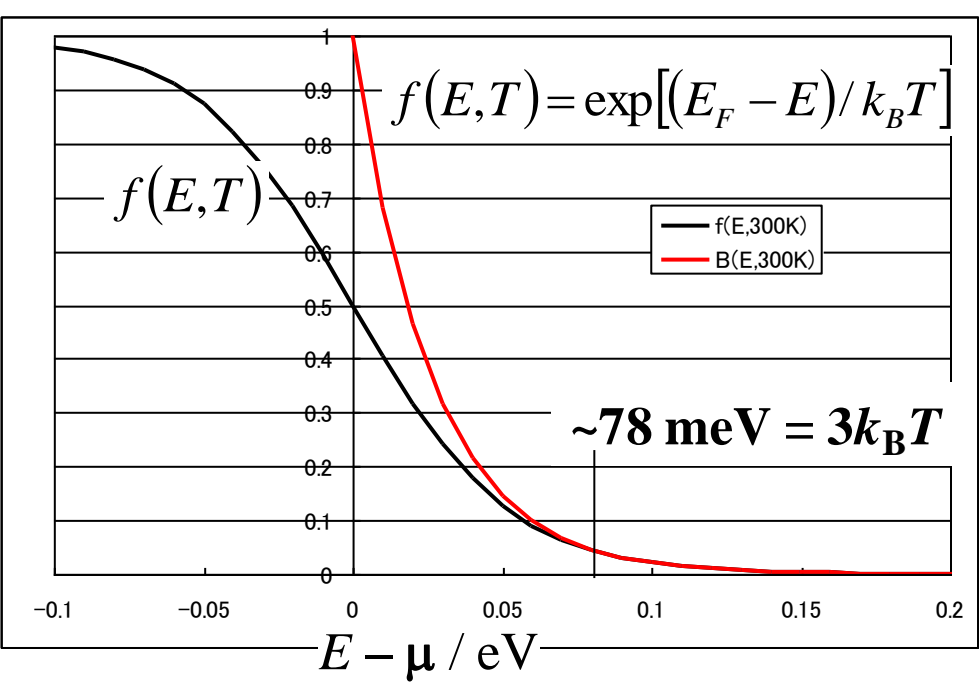
- $E \mu = 0$   $\mathcal{E}$  f(E) = 1/2
- $E \mu \Rightarrow -\infty$  で f(E) = 1: 絶対 0 K において、 $E < \mu$  の準位はすべて被占有
- $E \mu \Rightarrow +\infty$  で f(E) = 0: 絶対 0 K において、 $E > \mu$  の準位はすべて非占有
- • $(E \mu) / k_B T >> 1$  の場合: Maxwell-Boltzmann近似に漸近 (古典領域)

$$f(E) = \exp[-(E - \mu)/k_B T]$$



### Fermi-Dirac分布関数





$$f(E,T) => 1$$
  $(E - E_{\rm F} << k_{\rm B}T)$   
 $f(E,T) = 1/2$   $(E = E_{\rm F})$   
 $f(E,T) = \exp[(E_F - E)/k_{\rm B}T] => 0$   $(E - E_{\rm F} >> k_{\rm B}T)$ 

 $(E-E_{\rm F})/k_{\rm B}T$  が大きい状態はBoltzmann分布と同じ振る舞いをする「非縮退電子ガス」

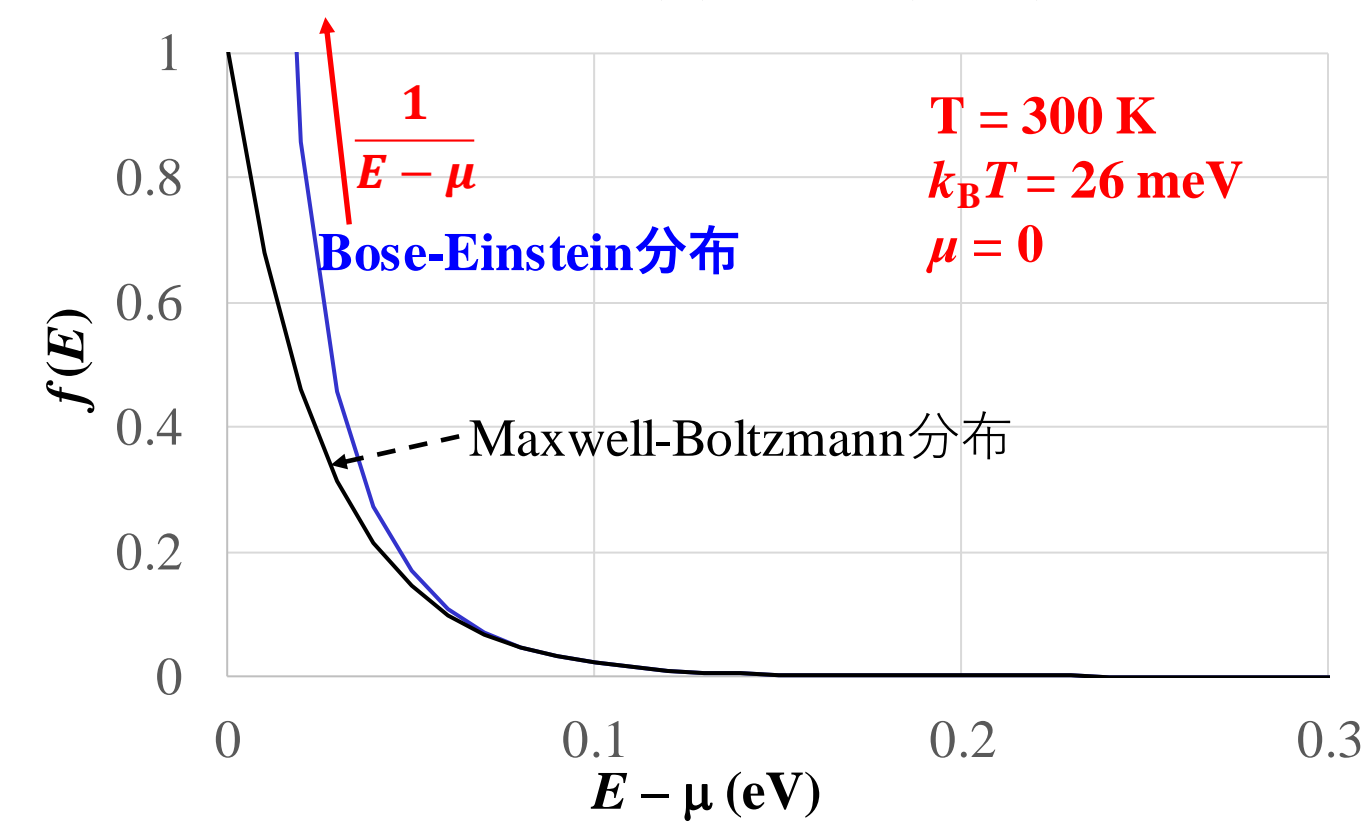
⇔「統計的に縮退した電子ガス」

### Bose-Einstein分布関数

Bose-Einstein分布:
$$f(E) = \frac{1}{\exp[(E-\mu)/k_BT]-1}$$

- ・ $E \rightarrow \mu$  で  $(E \mu)^{-1}$  に従って発散
- $f(E) \ge 0$  でなければいけないので、BE統計は、 $E > \mu$  のみで意味がある
- ・ $(E \mu)/k_BT >> 1$  の場合: Maxwell-Boltzmann近似に漸近 (古典領域)

$$f(E) = \exp[-(E - \mu)/k_B T]$$



### 各種統計における粒子の可能な配置

Maxwell-Boltzmann統計、正準統計 => 試験によく出る。Isingモデルなど。

1個の粒子が複数の準位を作り、そのどれか 1つの状態を取る。

 $N_i$ のうち取りうる準位は $N_1+N_2+ • • • + N_{i-1}$ だけ減少。全粒子数の条件は未定乗数法で入る。

$$W = W_1 W_2 W_3 \cdots = \frac{N!}{N_1! (N - N_1)!} \frac{(N - N_1)!}{N_2! (N - N_1 - N_2)!} \frac{(N - N_1 - N_2)!}{N_3! (N - N_1 - N_2 - N_3)!} \cdots = \frac{N!}{N_1! N_2! N_3! \cdots}$$

$$E_3 = E_2 = E_3 = E$$

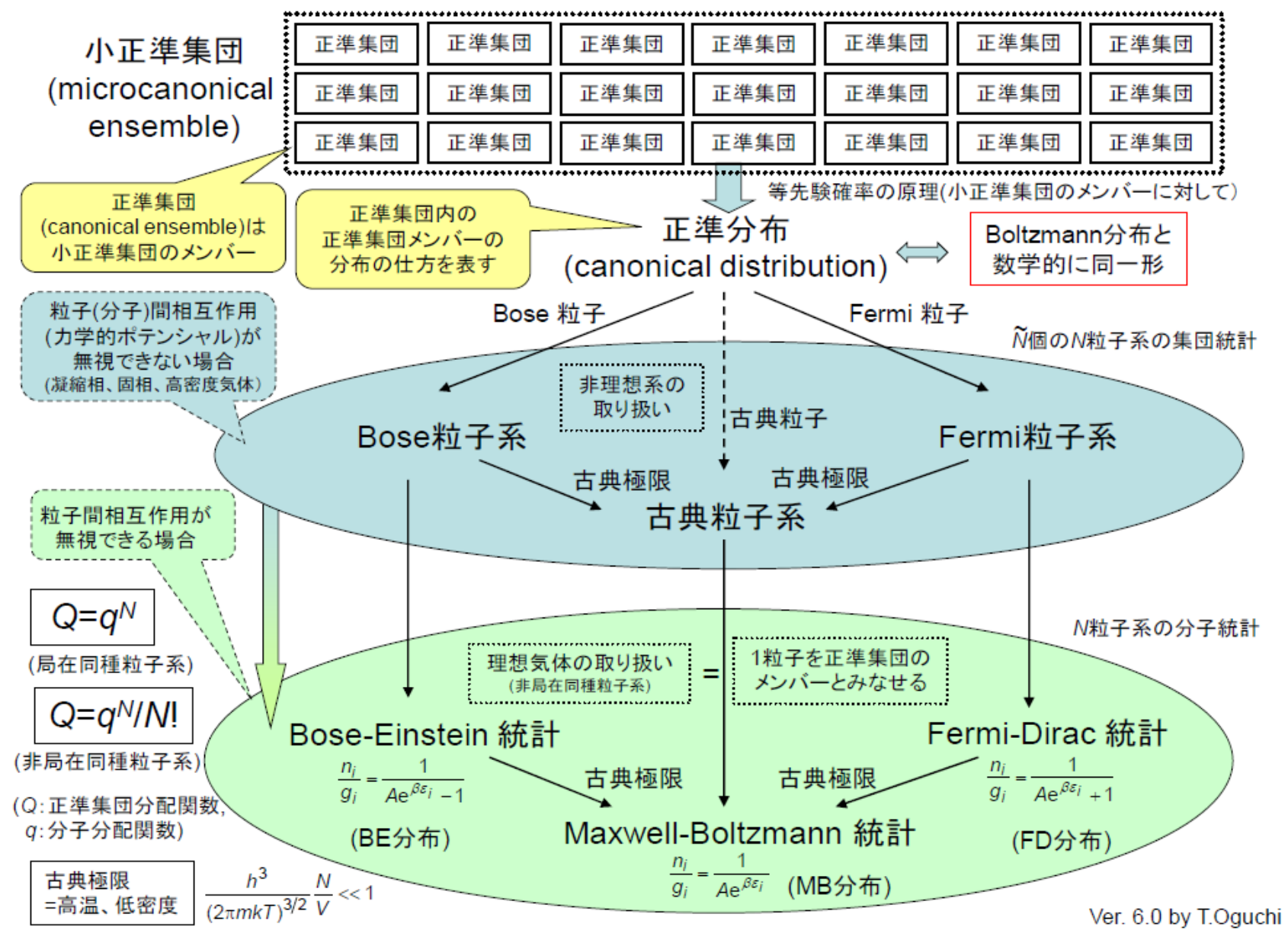
#### Fermi-Dirac統計

N個の粒子が作る準位のそれぞれに0個あるいは1個の粒子が入れる。 $N_1, N_2, N_3 \cdots$ に制約条件は入れる必要はない。全粒子数の条件は未定乗数法で入る。

#### Bose-Einstein統計

縮退度 $g_i$ 

N個の粒子が作る準位のそれぞれに 0 個以上の粒子が入れる



(Image reproduced by permission of T. Oguchi.)

P. 170 § 8.1 大正準分布から量子統計を導出

#### 大正準集合理論から再度導出してみる

大分配関数 
$$Z_G = \sum_{\{n_i\}} \exp(eta \sum_i (n_i \mu - E_i))$$
 (和記号の $\{n_i\}$ は、すべての独立な $n_i$ の組を取る) 
$$= \sum_{\{n_i\}} \prod_i \exp(eta n_i (\mu - e_i)) = \sum_{n_1} \sum_{n_2} \cdots \prod_i \exp(eta n_i (\mu - e_i))$$
 
$$= \sum_{n_1} \exp(eta n_1 (\mu - e_1)) \sum_{n_2} \exp(eta n_2 (\mu - e_2)) \cdots$$
 
$$= \prod_i \sum_{n_i} \exp(-eta n_i (e_i - \mu))$$

#### 1つの状態iを占める占有数 $n_i$ の統計平均 $f_i$

$$f_i = \langle n_i \rangle = \sum_{\{n_i\}} n_i \exp(\beta \sum_i (n_i \mu - e_i)) / Z_G = -\partial \ln Z_G / \partial (\beta e_i)$$

#### Fermi統計: $n_i = 0,1$ で和を取る

$$Z_{G} = \prod_{i} \sum_{n_{i}=0}^{1} \exp(-\beta n_{i}(e_{i} - \mu)) = \prod_{i} (1 + \exp(-\beta(e_{i} - \mu)))$$

$$f_{i} = -\frac{\partial}{\beta \partial e_{i}} \ln Z_{G} = \frac{\exp(-\beta(e_{i} - \mu))}{1 + \exp(-\beta(e_{i} - \mu))} = \frac{1}{\exp(\beta(e_{i} - \mu)) + 1}$$
(8.5)

#### Bose統計: $n_i = 0, 1, \cdots$ で和を取る

$$Z_G = \prod_i \sum_{n_i=0}^{\infty} \exp(-\beta n_i (e_i - \mu)) = \prod_i \frac{1}{1 - \exp(-\beta (e_i - \mu))}$$

$$f_i = -\frac{\partial}{\beta \partial e_i} \ln Z_G = \frac{\partial}{\beta \partial e_i} \left\{ \sum_i \left[ 1 - e^{-\beta (e_i - \mu)} \right] \right\} = \frac{1}{\exp(\beta (e_i - \mu)) - 1}$$

### 調和振動子の量子力学での取り扱い

#### 古典力学

$$m\frac{d^2x}{dt^2} = -kx \qquad \frac{d^2x}{dt^2} = -\omega^2x \qquad \omega = \sqrt{\frac{k}{m}}$$

 $x = A^+ e^{i\omega t} + A^- e^{-i\omega t}$ 

$$\frac{d^2x}{dt^2} = -\omega^2x$$

角振動数 
$$\alpha = \sqrt{\frac{k}{k}}$$

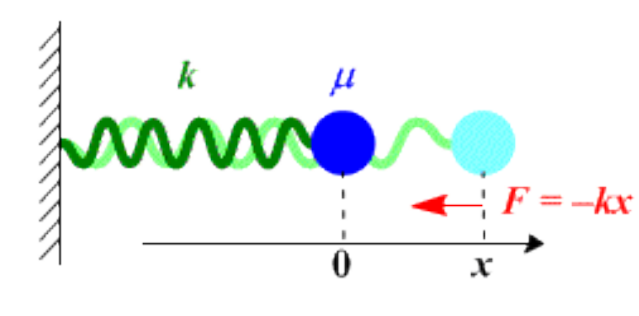
$$\omega = \sqrt{\frac{k}{m}}$$

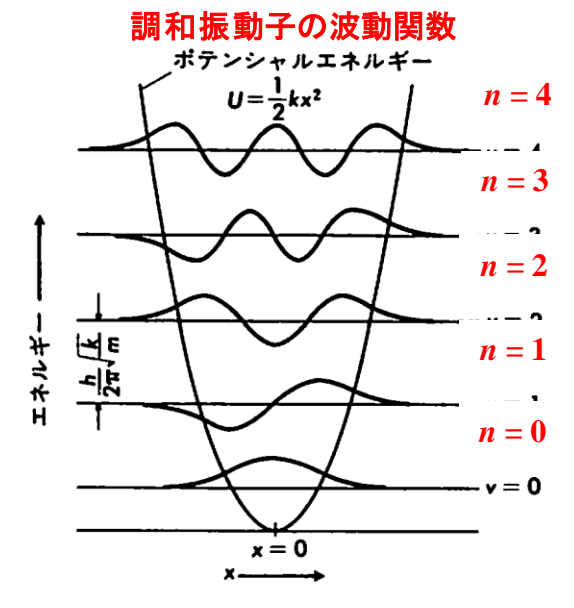
1. 最初の考え方:

一つの調和振動子は次のエネルギー準位を持つ

$$E_n = \hbar \omega \left( n + \frac{1}{2} \right)$$
 量子数  $n$  は古典力学の振幅  $A^+$ ,  $A^-$  に対応  $n$  は  $0$  から  $\infty$  の整数をとれる

正準分布に従う:  $f(E_n) = \exp[(n+1/2)\hbar\omega/k_BT]/Z$ ?





- 2. 現在の考え方(第二量子化:全ての量子状態は粒子の集合として扱える)  $\hbar\omega$ のエネルギーを持つBose粒子 (フォノン) が n 個ある: Planck分布に従う  $f(E) = \frac{1}{\exp[\hbar\omega/k_B T] - 1}$ 
  - 1. と 2. の考え方は矛盾しないか? (1. からPlanck分布が導出できるか)

### 量子力学的調和振動子: 正準分布からの導出

キッテル、固体物理学入門

調和振動子 1つずつが  $E_n = \hbar\omega \left(n + \frac{1}{2}\right)$ の準位を取れると考え、正準統計を適用する。量子数 n の状態をとる確率  $f_n$  は  $f_n = \frac{\exp\left[-\beta\hbar\omega(n+1/2)\right]}{\sum_s \exp\left[-\beta\hbar\omega(s+1/2)\right]} = \frac{\exp\left[-\beta\hbar\omega\right]}{\sum_s \exp\left[-\beta s\hbar\omega\right]}$ 

#### エネルギーの平均

$$\langle E \rangle = \frac{\sum \hbar \omega (s+1/2) \exp[-\beta s \hbar \omega]}{\sum_{S} \exp[-\beta s \hbar \omega]} = \frac{\sum s \exp[-\beta s \hbar \omega]}{\sum_{S} \exp[-\beta s \hbar \omega]} + \frac{\hbar \omega}{2}$$
$$= \frac{\sum_{S} s x^{S}}{\sum_{S} x^{S}} + \frac{\hbar \omega}{2}$$

$$x = \exp[-\beta \hbar \omega]$$

$$\sum_{S} x^{S} = \frac{1}{1-x}$$

$$\sum_{S} sx^{S} = x \frac{d}{dx} \sum_{S} x^{S} = \frac{x}{(1-x)^{2}}$$

$$\Rightarrow \langle E \rangle = \hbar \omega \frac{x}{1 - x} + \frac{\hbar \omega}{2} = \hbar \omega \frac{1}{x^{-1} - 1} + \frac{\hbar \omega}{2} = \hbar \omega \frac{1}{\exp[\beta \hbar \omega] - 1} + \frac{\hbar \omega}{2}$$

ħω× Planck分布 + 零点エネルギー

### 統計力学まとめとおまけ

### 統計分布関数

Maxwellの速度分布関数: 古典力学、理想気体、空間の等方性から導出

$$f(\mathbf{v})d\mathbf{r}d\mathbf{v} = \rho \left(\frac{m}{2\pi k_B T}\right)^{3/2} \exp\left(-\frac{mv^2}{2k_B T}\right) d\mathbf{r}d\mathbf{v}$$
(3.29)

Maxwell-Boltzmann分布: 等重率の原理、最大確率の分布

$$f(E) = \mathbf{Z}^{-1} \exp\left(-\frac{E}{k_B T}\right) = \exp\left(-\frac{E - \mu}{k_B T}\right)$$
 (4.29)

(大)正準分布: 一般化された統計分布、すべての基本、M-B分布と同じ形大正準分布  $f(E,N) = \exp\left(-\frac{E-N\mu}{k_BT}\right)$ 

Fermi-Dirac分布: スピンが半整数(波動関数が粒子の交換で反対称)の粒子

$$f(E) = \frac{1}{\exp[(E - \mu)/k_B T] + 1}$$
 (8.5) (電子)

Bose-Einstein分布:スピンが整数(波動関数が粒子の交換で対称)の粒子

$$f(E) = \frac{1}{\exp[(E-\mu)/k_B T]-1}$$
 (7.20) (<sup>4</sup>He, スピンのない原子核)

Planck分布:スピンが整数、波動関数が対称の粒子で、粒子数が保存されない

$$f(E) = \frac{1}{\exp[E/k_B T] - 1}$$
 (7.21) (光子、フォノン)

### 化学ポテンシャル μ の決め方

 $\mu$ : 化学ポテンシャル (電子を扱う場合はフェルミエネルギー  $E_F$ )

#### 全粒子数Nの条件から決められる

$$N = \sum_{i} f(E_i) = \int D(E) f(E) dE$$

#### Maxwell-Boltzmann分布:

$$N = \sum_{i} \exp\left(-\frac{E_{i} - \mu}{k_{B}T}\right) = \exp\left(\frac{\mu}{k_{B}T}\right) \sum_{i} \exp\left(-\frac{E_{i}}{k_{B}T}\right)$$
 $\exp\left(-\frac{\mu}{k_{B}T}\right) = \sum_{i} \exp\left(-\frac{E_{i}}{k_{B}T}\right) = Z:$ 分配関数
$$f(E_{i}) = \mathbf{Z}^{-1} \exp\left(-\frac{E_{i}}{k_{B}T}\right)$$

#### Fermi-Dirac分布、Bose-Einstein分布、:

$$N = \sum_i \frac{1}{\exp[(E_i - \mu)/k_B T] \pm 1}$$
を解く。一般にはコンピュータで数値計算により求める

### 分布関数から物理量を求める方法

#### 1. 全粒子数 => μ を決定

$$N = \sum_{i} f(E_i) = \int f(E) \mathbf{drdp}$$

#### 2. 全エネルギーを計算

$$E = \sum_{i} E_{i} f(E_{i}) = \int E(\mathbf{r}, \mathbf{p}) \cdot f(\mathbf{r}, \mathbf{p}) d\mathbf{r} d\mathbf{p}$$

#### 3a. 統計平均として物理量 Pを導出

$$P = \sum_{i} P_{i} f(E_{i}) = \int P(\mathbf{r}, \mathbf{p}) \cdot f(\mathbf{r}, \mathbf{p}) d\mathbf{r} d\mathbf{p}$$

#### 3b. 分配関数の微分として物理量を導出

平均エネルギー 
$$E = -N \frac{d \ln Z}{d(1/k_B T)}$$
 (4.34)  
(平均) 粒子数  $\langle N \rangle$   $\frac{dZ}{dE_i} = -\frac{1}{k_B T} \sum \exp(-E_i/k_B T) = -\frac{1}{k_B T} \langle N \rangle$   
(平均) 分極  $\langle \mu \rangle$   $\frac{dZ}{dB} = \frac{1}{k_B T} \sum \mu_i \exp(+\mu_i B/k_B T) = \frac{1}{k_B T} \langle \mu \rangle$ 

#### 3c. 自由エネルギーの微分として物理量を導出

Helmholtzエネルギー 
$$F = -Nk_BT \ln Z$$
 (4.41)  
体積弾性率  $B_V : F = F_0 + (1/2)B_V(V/V_0)^2 = > B_V = \frac{d^2F}{d(V/V_0)^2}$ 

### § 7.2 電子相関のないFermi分布

#### Fermi-Dirac分布の導出

#### 電子相関が小さい電子:金属、伝導帯、価電子帯の電子

- ・1つの状態を占められる電子は最大1つ
- ・エネルギー $E_i$ をもつ状態が $g_i$ 個(縮退)あり、そのうち $n_i$ 個を電子が占めている
- • $E_i$  は占有電子数 $n_i$  によって変わらない

全体の配置数 
$$W = \prod_i \frac{g_i!}{n_i!(g_i-n_i)!}$$
 (7.11)

全粒子数、全エネルギーの制約条件から

$$\frac{n_i}{g_i} = \frac{1}{1 + \exp(\beta(E_D - E_F))}$$
 (7.26)

グループ内の配置



グループ内の配置 
$$g_i = 5$$
,  $n_i = 4$ の場合

$$\frac{5!}{4!(5-4)!} = \frac{5 \cdot 4 \cdot 3 \cdot 2 \cdot 1}{4 \cdot 3 \cdot 2 \cdot 1} = 5$$

### 参考: 電子相関のあるFermi分布

太田英二、坂田亮-半導体の電子物性光学、裳華房

電子相関: $E_i$  は占有電子数 $n_i$  によって変化(一般に $n_i$  が増えると $E_i$  は上がる)

ドナー準位:  $g_i$  重に縮退しているが、電子が1つ入ると $E_i$  があがり、2つ目以上は入れなくなる

・中性ドナー は $g_{D0}$ に縮退し、 $N_D^0 = N_D - N_D^+$ 個の電子が占めており、イオン化ドナーは $g_{D+}$ に縮退し、 $N_D^+ = N_D - N_D^0$  個の状態が残っている

ドナー準位の配置数  $W_D = \frac{N_D!}{N_D^0!(N_D - N_D^+)!} g_{D0}^{N_D^0} g_{D+}^{N_D - N_D^0}$ 

$$\frac{N_D^0}{N_D} = f_D(E_D) = \frac{1}{1 + \frac{g_{D+}}{g_{D0}} \exp(\beta(E_D - E_F))}$$

アクセプター準位: 
$$\frac{N_A}{N_A} = f_A(E_A) = \frac{1}{1 + \frac{g_{A0}}{g_{A-}} \exp(\beta(E_A - E_F))}$$

$$\frac{N_A^0}{N_A} = \frac{1}{1 + \frac{g_{A-}}{g_{A0}} exp(\beta(E_F - E_A))}$$

縮退度はドナーやアクセプターの軌道によって変わる: Si中のPやBの例:

中性ドナーでは  $\uparrow$ ,  $\downarrow$  スピンの2つの状態のうち1つだけを電子が 占めているので  $g_{D0}=2$ , イオン化すると占有電子数が 0 になるので  $g_{D+}=1$ 

イオン化アクセプターではすべてを電子が占有しているので  $g_{A-}=1$ ,  $g_{A0}=2$ 

Siの価電子帯上端のように、さらにバンドが2つ縮退していると $g_{A0}=4$ 

### 古典統計力学の問題

異種2原子分子気体 エネルギー等分配則 デュロン・プティの法則

### § 5.3 極性気体: 重心運動と相対運動

原子A: 質量  $m_A$ , 電荷 q, 位置  $r_A$ , 速度  $v_A$ 

原子B: 質量 $m_B$ , 電荷-q, 位置 $r_B$ , 速度 $v_B$ 

$$m_A \frac{d}{dt} \boldsymbol{v}_A = \boldsymbol{F}_A + \boldsymbol{F}_{B \to A}$$

 $F_A$ ,  $F_B$ : A, B にかかる外力

$$m_B \frac{d}{dt} \boldsymbol{v_B} = \boldsymbol{F_B} + \boldsymbol{F_{A \to B}}$$

 $F_{A \to B} = -F_{B \to A}$ : AがBに及ぼす力

#### 重心の運動:

$$(m_A + m_B) rac{d}{dt} \Big(rac{m_A v_A + m_B v_B}{m_A + m_B}\Big) = m{F}_A + m{F}_B$$
 $m{v}_G = rac{m_A v_A + m_B v_B}{m_A + m_B}$ : 重心の速度
 $M = m_A + m_B$ : 全質量

#### 重心を中心とした運動:

$$\begin{split} \mu\frac{d}{dt}(\pmb{v}_B-\pmb{v}_A)&=\pmb{F}_{A\to B}+\frac{m_A\pmb{F}_B-m_B\pmb{F}_A}{m_A+m_B}\\ \pmb{v}_R&=\pmb{v}_B-\pmb{v}_A\text{: 相対速度}\\ \mu^{-1}&=m_A^{-1}+m_B^{-1}\text{: 換算質量} \end{split}$$
 運動エネルギー:  $K=\frac{1}{2}m_A\pmb{v}_A^2+\frac{1}{2}m_B\pmb{v}_B^2=\frac{1}{2}M_G\pmb{v}_G^2+\frac{1}{2}\mu\pmb{v}_R^2 \end{split}$ 

### § 5.3 極性気体: 重心運動と相対運動

重心の運動: 質量  $M=m_A+m_B$  の分子の理想気体と同じに扱える

#### 重心を中心とした運動:

P. 106

相対位置  $r_R = v_B - v_A$  を極座標  $(r, \theta, \varphi)$ で表して扱うことができる => 2つの自由度が回転  $(\theta, \varphi)$ 、1つは振動 (r)

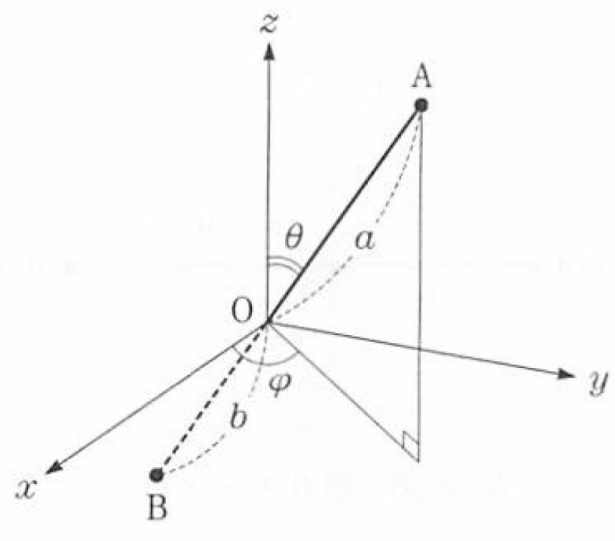
#### N原子からなる分子の場合:

重心運動の自由度 :3

分子の回転の自由度: 2

分子内振動の自由度: N-5

5-4図 極座標



### 極座標でのハミルトニアン

$$H = T + V$$
ハミルトンの運動方程式  $\frac{\partial q_r}{\partial t} = \frac{\partial H}{\partial p_r}$   $\frac{\partial p_r}{\partial t} = -\frac{\partial H}{\partial q_r}$ 
デカルト座標  $(x, y, z)$  と極座標  $(r, \theta, \varphi)$ :
 $x = r \cos \theta \cos \varphi$ 
 $y = r \cos \theta \sin \varphi$ 
 $z = r \sin \theta$ 
 $\dot{x}^2 = (\dot{r} \cos \theta \cos \varphi + r\dot{\theta} \sin \theta \cos \varphi + r\dot{\phi} \cos \theta \sin \varphi)^2$ 
 $\dot{y}^2 = (\dot{r} \cos \theta \sin \varphi + r\dot{\theta} \sin \theta \sin \varphi - r\dot{\phi} \cos \theta \cos \varphi)^2$ 
 $\dot{z}^2 = (\dot{r} \sin \theta - r\dot{\theta} \cos \theta)^2$ 
 $\dot{z}^2 = (\dot{r} \sin \theta - r\dot{\theta} \cos \theta)^2$ 
 $\dot{z}^2 + \dot{y}^2 + \dot{z}^2 = \dot{r}^2 + (r \cos \theta \cdot \dot{\phi})^2 + (r\dot{\theta})^2$ 
 $H = \frac{1}{2}m(\dot{r}^2 + (r \cos \theta \cdot \dot{\phi})^2 + (r\dot{\theta})^2) + V(r, \varphi, \theta)$ 
 $= \frac{1}{2m}(p_r^2 + (\frac{p_\varphi}{r \cos \theta})^2 + (\frac{p_\theta}{r})^2) + V(r, \varphi, \theta)$ 
 $p_r = m\dot{r}$ 
 $p_\varphi = m(r \cos \theta \cdot \dot{\phi})^2 \cdot \dot{\phi}$ 
 $p_\theta = mr^2\dot{\theta}$ 

### 極座標でのラグランジ方程式

### デカルト座標 (x, y, z)と極座標 $(r, \theta, \varphi)$ :

### 極座標でのハミルトニアン

#### 1. ラグランジアンからの導出:

$$H = H(q, p) = \sum p_j \dot{q}_j - L = T + V$$
 
$$p_r = \partial L/\partial \dot{r} = m\dot{r} \quad p_{\varphi} = \partial L/\partial \dot{\varphi} = mr^2 \cos^2 \theta \cdot \dot{\varphi} \qquad p_{\theta} = \partial L/\partial \dot{\theta} = mr^2 \dot{\theta}$$
 
$$H = \frac{1}{2m} \left( p_r^2 + \left( \frac{p_{\varphi}}{r \cos \theta} \right)^2 + \left( \frac{p_{\theta}}{r} \right)^2 \right) + V(r, \varphi, \theta)$$
 並進エネルギー 回転エネルギー

#### 2. デカルト座標 (x,y,z) から極座標 $(r,\theta,\varphi)$ への変換による導出:

$$x = r \cos \theta \cos \varphi \qquad y = r \cos \theta \sin \varphi \qquad z = r \sin \theta$$

$$\dot{x}^2 = \left(\dot{r} \cos \theta \cos \varphi + r\dot{\theta} \sin \theta \cos \varphi + r\dot{\varphi} \cos \theta \sin \varphi\right)^2$$

$$\dot{y}^2 = \left(\dot{r} \cos \theta \sin \varphi + r\dot{\theta} \sin \theta \sin \varphi - r\dot{\varphi} \cos \theta \cos \varphi\right)^2$$

$$\dot{z}^2 = \left(\dot{r} \sin \theta - r\dot{\theta} \cos \theta\right)^2$$

$$\dot{x}^2 + \dot{y}^2 + \dot{z}^2 = \dot{r}^2 + (r \cos \theta \cdot \dot{\varphi})^2 + (r\dot{\theta})^2$$

$$H = \frac{1}{2}m\left(\dot{r}^2 + (r \cos \theta \cdot \dot{\varphi})^2 + (r\dot{\theta})^2\right) + V(r, \varphi, \theta)$$

$$= \frac{1}{2m}\left(p_r^2 + \left(\frac{p_\varphi}{r \cos \theta}\right)^2 + \left(\frac{p_\theta}{r}\right)^2\right) + V(r, \varphi, \theta)$$

## § 5.3 極性気体

HFなどの異種2原子分子では、例えばHが +q|e| に、Fが -q|e| に帯電して

電気双極子  $p_0 = qd$  (dは結合方向のベクトル) をもつ (極性気体  $\Leftrightarrow$  無極性気体  $H_2$ ,  $CO_2$ )

5-3図のように電場Eがz方向にかかり、 $p_0$ がz軸から $\theta$ 傾いている場合:

$$U_p = -p_0 \cdot E = -p_0 E \cos\theta \tag{5.28}$$

原子A, Bからなる分子の重心を原点にとった極座標を考える

回転エネルギー

$$K = \frac{m_A a^2 + m_B b^2}{2} \left( \dot{\theta}^2 + \dot{\varphi}^2 \sin^2 \theta \right)$$
 (5.30)

$$=\frac{I}{2}(\dot{\theta}^2 + \dot{\varphi}^2 \sin^2 \theta) \tag{5.31}$$

$$I=\frac{m_Aa^2+m_Bb^2}{2}$$
: 慣性モーメント

運動量

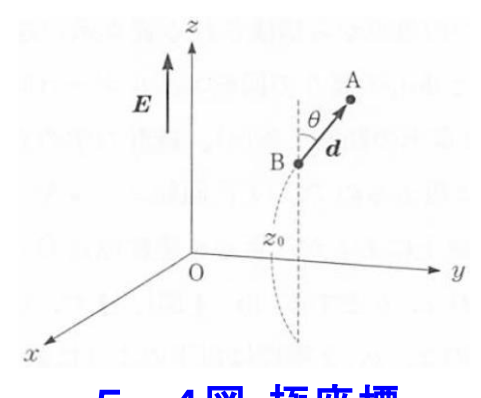
$$p_{\theta} = (mr^2\dot{\theta} =)I\dot{\theta}, \ p_{\varphi} = (mr^2\cos^2\theta\cdot\dot{\varphi} =)I\dot{\varphi}\dot{\sin}^2\theta$$

全エネルギー

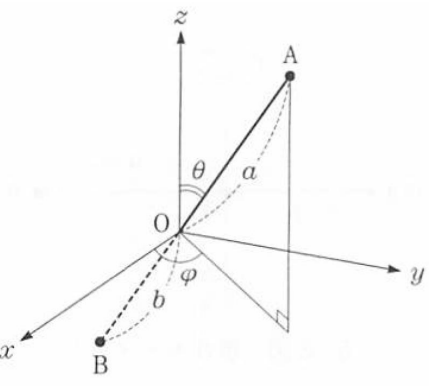
$$H = \frac{p_{\theta}^{2}}{I} + \frac{p_{\varphi}^{2}}{I \sin^{2} \theta} - \frac{I}{2} \left( \frac{p_{\theta}^{2}}{I^{2}} + \sin^{2} \theta \frac{p_{\varphi}^{2}}{I^{2} \sin^{4} \theta} \right) - p_{0} E \cos \theta$$

$$H = \frac{1}{2I} \left( p_{\theta}^2 + \frac{p_{\phi}^2}{\sin^2 \theta} \right) - p_0 E \cos \theta$$
 (5.36)





5-4図 極座標



### § 5.4 極性気体の回転エネルギー

回転エネルギー+双極子ポテンシャル 
$$H = \frac{1}{2I} \left( p_{\theta}^2 + \frac{p_{\phi}^2}{\sin^2 \theta} \right) - p_0 E \cos \theta$$
 (5.36)

位相空間素体積  $d\theta d\varphi dp_{\theta} dp_{\varphi}$  中の双極子の数dn (Maxwell-Boltzmann分布)

$$dn = \frac{N}{fa} \exp(-\beta H) d\theta d\phi dp_{\theta} dp_{\phi}$$
 (5.37)

#### 角度座標部分の分布

$$f(\theta, \varphi)d\theta d\varphi = AN \exp(\beta p_0 E \cos \theta) \sin \theta d\theta d\varphi$$
  
 $N = \int f(\theta, \varphi) d\theta d\varphi$  から  $A$  が決まる

#### 回転エネルギー部分

### § 5.3 極性気体: 古典論による分極率

#### ハミルトニアンの双極子ポテンシャル

$$H = -p_0 E \cos\theta$$

(5.36)

#### 分極 P: 単位体積中の双極子モーメントの和

$$P = \frac{N}{V} \frac{\int p_0 \cos\theta \cdot \exp(\beta p_0 E \cos\theta) \sin\theta d\theta d\varphi}{\int \exp(\beta p_0 E \cos\theta) \sin\theta d\theta d\varphi}$$

$$\beta p_0 E = \alpha, \cos \theta = x$$
 と置換して  $\varphi$  について積分

$$P = \frac{N}{V} p_0 \frac{\int x \exp(\alpha x) dx}{\int \exp(\alpha x) dx}$$

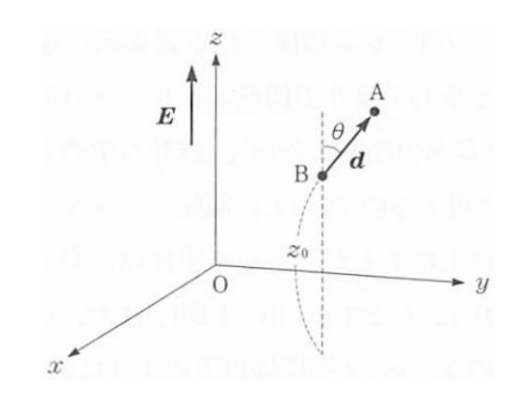
部分積分から 
$$\int x \exp(\alpha x) dx = \frac{\exp(\alpha x)}{\alpha^2} (ax - 1)$$
 なので、

$$P = \frac{N}{V} p_0 L(\alpha)$$

**(5.49)** 

$$L(\alpha) = \coth(\alpha) - \frac{1}{\alpha}$$
: Langevin 関数

#### 5-3図 電場中の電気双極子



### § 5.5 極性気体の分極: 古典論による分極率

### 誘電感受率 $\chi$ の定義 $P = \chi E = \frac{N}{V} p_0 L(\beta p_0 E)$ (5.49)

$$L(\alpha) = \coth(\alpha) - \frac{1}{\alpha}$$
 Langevin関数 
$$\coth(\alpha) = \frac{e^{\alpha} + e^{-\alpha}}{e^{\alpha} - e^{-\alpha}}$$
  $L(\alpha) \sim \frac{\alpha}{3} - \frac{\alpha^3}{45} + \cdots$   $(\alpha = \beta p_0 E \ll 1)$   $L(\alpha) \sim 1$   $(\alpha = \beta p_0 E \gg 1)$ 

より、

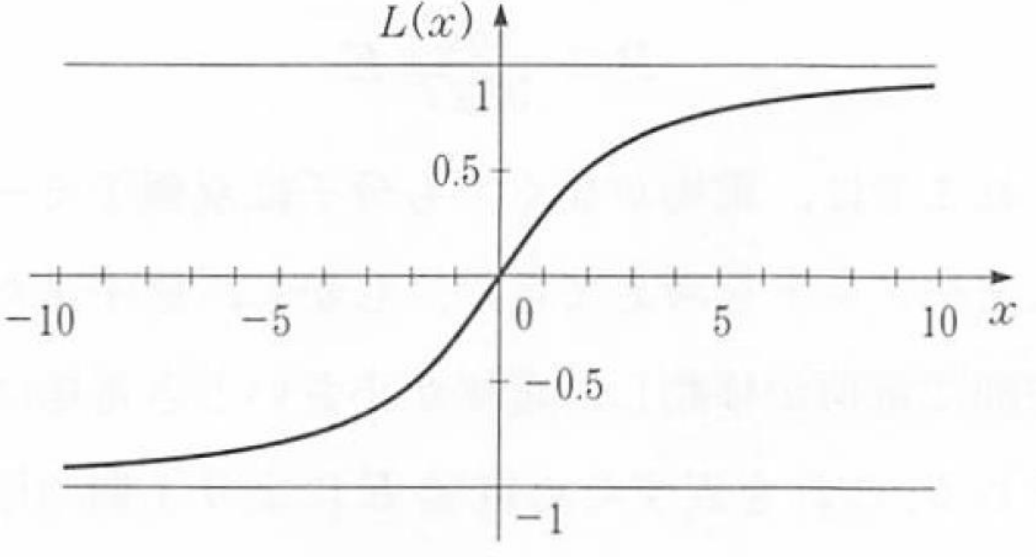
低温・高電界: 
$$P = \frac{N}{V} p_0$$
に漸近

高温·低電界: 
$$\chi \sim \frac{N/V}{3k_BT} p_0^2$$

誘電率 $\varepsilon$ :  $\varepsilon E = \varepsilon_0 E + P$ 

$$\varepsilon = \varepsilon_0 + \frac{N/V}{3k_BT}p_0^2$$

#### 5-6図 Langevin関数



### 古典統計力学:エネルギー等分配則の限界

エネルギー等分配則: 運動の自由度一つ当たり $\frac{1}{2}k_BT$ 

気体でエネルギー分配則が成立する運動の自由度

- 運動エネルギー 分子の重心の並進運動の自由度 3 (<e<sub>x</sub>>, <e<sub>y</sub>>, <e<sub>z</sub>>)
- 〇 分子の回転エネルギー

二原子分子 回転の自由度 2 (結合軸周りの回転は除く)

三原子以上の分子回転の自由度3

自由度: 一原子当たり3

- 二原子分子では合計6、三原子分子では9のはず???
- ⇒残りの自由度は分子振動だが、「等分配則」では無視されている 結晶の振動の自由度(格子振動)では等分配則が成立する

なぜ分子振動だけ無視するのか?

### 比熱の問題:量子力学誕生のきっかけ

#### Newton力学と古典統計力学

・気体や固体の比熱は、自由度ごとに $(1/2)k_B$ : 等分配の法則熱力学第三法則と矛盾

$$S(T) = \int_0^T \frac{c_V}{T} dT$$
  
 $C_V$ が一定だと、 $T o 0$  で  $S o \infty$  となってしまう

• 固体の比熱の実測: 低温で  $C_V$  は  $T^3$  に比例して 0 になる



#### 分子・格子振動のエネルギーは量子化されている

• Einsteinモデル: すべての振動は同じエネルギーを持つ  $C_V$  は低温では  $\exp(-\hbar\omega/k_BT)$  に従って 0 になる

熱力学第三法則とは矛盾しないが、

実測の T3 則を説明できない

・ Debyeモデル: 振動数は0から $\omega_D$ までの分散を持つ実測の $T^3$ 則を説明できるようになった

### なぜ振動の自由度が消えたのか

Debye模型でデュロンープティの法則が成立する条件:

$$x = \frac{\Theta_D}{T} = \frac{\hbar \omega}{k_B T} \ll 1$$

振動のエネルギー $\hbar\omega$  が熱エネルギー $k_BT$  より十分に小さいとき

#### 等分配則も量子論でないと正しく説明できない

- ・エネルギーは量子化され、離散的な $E_i$   $(i=1,2,3,\cdots)$  となる
- ・エネルギー準位  $E_i$  が熱エネルギー  $k_BT$  (300Kで 25.9 meV) に比べて大きいと 内部エネルギー、比熱に寄与しない

運動エネルギー: 速度の連続関数 〇 (低温で固化すると凍結され、振動の自由度になる)

回転エネルギー: 速度の連続関数 〇 (低温で固化すると凍結され、振動の自由度になる)

振動エネルギー: 
$$E_n = \hbar\omega \left(n + \frac{1}{2}\right)$$

典型的な固体の格子振動数  $1\,\mathrm{THz}$ :  $\hbar\omega=4\,\mathrm{meV}$  <<  $k_\mathrm{B}T$  @  $T=300\,\mathrm{K}$  〇

光学モード振動数  $500 \,\mathrm{cm}^{-1}$ :  $\hbar\omega = 62 \,\mathrm{meV} > k_{\mathrm{B}}T$  @  $T = 300 \,\mathrm{K}$  ×

-OHの伸縮振動数 3300 cm<sup>-1</sup>:  $\hbar \omega = 0.4 \, \mathrm{eV} >> k_{\mathrm{B}} T \, @ T = 300 \, \mathrm{K}$  ×

### 19世紀: 物理学の完成と破たん

1687年 : Newton Principia 発刊。 Newton 力学完成

1769年:ワットが新方式の蒸気機関を開発

19世紀半ば : 高圧蒸気機関の開発、高効率化

19世紀後半:自由エネルギーの概念、熱力学完成、統計力学の創始

1864年 : Maxwell方程式、電磁気学完成

18世紀半ば~19世紀:産業革命

1911年 : ラザフォード散乱の実験により原子の構造が解明される

#### ところが・・・

- 1. Maxwell方程式からは光速は定数で与えられる。 光速はどの慣性系から測った速度なのか???(絶対静止系が存在するのか)
- 2. 原子核のまわりを電子がまわっている。 電荷は加速度運動をしているので、電磁波を放射してエネルギーを失うはず???
- 3. 古典統計力学で与えられる比熱は温度に依存しない。 熱力学第三法則が満たされない???
- 4. 黒体放射のエネルギーが無限大になる???
- 1.に対しては、Einsteinの特殊相対性理論(1905年)で解決
- 2~4は量子力学の確立の基礎を作った

### 黒体(空洞)放射の問題:量子力学誕生のきっかけ

朝永振一郎, 量子力学 I, みすず書房

Newton力学と古典統計力学: 等分配の法則

それぞれの振動に  $(1/2)k_B$  ごとの比熱がある

=>気体・固体の場合は原子の自由度があるので比熱は有限

Rayleigh-Jeansの公式: 電磁波も振動、等分配の法則が成立?

電磁波の自由度は無限 => エネルギーも比熱も 無限大 ?? vが低い領域では v² に比例、実測に一致

#### 実測: Stefanの法則

 $U = \sigma T^4 (\sigma = 5.67 \times 10^{-8} \text{ Wm}^{-2} \text{K}^{-4}: \text{Stefan-Boltzmann}係数)$ 

Stefan-Boltzmannの理論: 熱力学サイクルからStefanの法則を説明

Wienの変位則: 輻射のスペクトル分布は以下の形でなければいけない

$$U(v)dv = \frac{8\pi}{c^3} F\left(\frac{v}{r}\right) v^3 dv$$
  $F(x)$  は  $x^{-4}$  より速く0 になる

Wienの公式: 光をエネルギー e をもつと仮定してBoltzmann分布を適用  $F(x) = k_B \beta e^{-\beta x}$ 

Planckの公式: 電磁波のエネルギーをe の整数倍と考えた半古典モデルで解決 Einsteinの光量子仮説 (1905年): 光はエネルギーhv をもつ量子 1921年ノーベル物理学賞 (Planckは1918年、Comptonは1927年に受賞)